

Inversion d'opérateurs diffusifs et application à certains problèmes dynamiques

C. Casenave¹, G. Montseny¹

¹Laboratoire d'Analyse et d'Architecture des Systèmes,
LAAS -CNRS, Toulouse

Workshop MOCOSY
26 et 27 Mars 2009

Sommaire

Représentation Diffusive

Inversion γ -symbolique

Identification de modèle

Plan

Représentation Diffusive
Principe
Cadre topologique
Approximations numériques

Inversion γ -symbolique

Identification de modèle

Représentation Diffusive Principe (1)

Opérateur intégral

$$(\mathcal{H}u)(t) = \int_{\mathbb{R}} h(t-s)u(s)ds$$

Difficulté propre aux opérateurs intégraux : complexité a priori excessive
(du point de vue numérique particulièrement)

⇒ **nécessité d'une nouvelle formulation de \mathcal{H}**

$$\begin{aligned}(\mathcal{H}u)(t) &= (\mathcal{H}u^t)(t) \text{ où } u^t(s) := \mathbf{1}_{[0,+\infty[}(s)u(t-s) \text{ (histoire de } u) \\ &= [\mathcal{L}^{-1}(H\mathcal{L}u^t)](t) \text{ où } H = \mathcal{L}h\end{aligned}$$

$$(\mathcal{H}u)(t) = \frac{1}{2i\pi} \int_{b-i\infty}^{b+i\infty} H(p)\Psi_u(t,p)dp, \quad b \geq 0,$$

où $\Psi_u(t,p) := e^{pt}\mathcal{L}u^t(p)$ est solution de l'équation différentielle :

$$\partial_t \Psi(t,p) = p\Psi(t,p) + u, \quad t > 0, \quad \Psi(0,p) = 0.$$

Représentation Diffusive Principe (1)

Opérateur intégral

$$(\mathcal{H}u)(t) = \int_{\mathbb{R}} h(t-s)u(s)ds$$

Difficulté propre aux opérateurs intégraux : complexité a priori excessive (du point de vue numérique particulièrement)

⇒ **nécessité d'une nouvelle formulation de \mathcal{H}**

$$\begin{aligned}(\mathcal{H}u)(t) &= (\mathcal{H}u^t)(t) \text{ où } u^t(s) := \mathbf{1}_{[0,+\infty[}(s)u(t-s) \text{ (histoire de } u) \\ &= [\mathcal{L}^{-1}(H\mathcal{L}u^t)](t) \text{ où } H = \mathcal{L}h\end{aligned}$$

$$(\mathcal{H}u)(t) = \frac{1}{2i\pi} \int_{b-i\infty}^{b+i\infty} H(p)\Psi_u(t,p)dp, \quad b \geq 0,$$

où $\Psi_u(t,p) := e^{pt}\mathcal{L}u^t(p)$ est solution de l'équation différentielle :

$$\partial_t \Psi(t,p) = p\Psi(t,p) + u, \quad t > 0, \quad \Psi(0,p) = 0.$$

Représentation Diffusive Principe (1)

Opérateur intégral

$$(\mathcal{H}u)(t) = \int_{\mathbb{R}} h(t-s)u(s)ds$$

Difficulté propre aux opérateurs intégraux : complexité a priori excessive (du point de vue numérique particulièrement)

⇒ **nécessité d'une nouvelle formulation de \mathcal{H}**

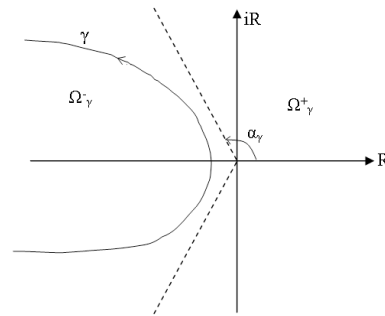
$$\begin{aligned}(\mathcal{H}u)(t) &= (\mathcal{H}u^t)(t) \text{ où } u^t(s) := \mathbf{1}_{[0,+\infty[}(s)u(t-s) \text{ (histoire de } u) \\ &= [\mathcal{L}^{-1}(H\mathcal{L}u^t)](t) \text{ où } H = \mathcal{L}h\end{aligned}$$

$$(\mathcal{H}u)(t) = \frac{1}{2i\pi} \int_{b-i\infty}^{b+i\infty} H(p)\Psi_u(t,p)dp, \quad b \geq 0,$$

où $\Psi_u(t,p) := e^{pt}\mathcal{L}u^t(p)$ est solution de l'équation différentielle :

$$\partial_t \Psi(t,p) = p\Psi(t,p) + u, \quad t > 0, \quad \Psi(0,p) = 0.$$

Représentation Diffusive Principe (2)



Soit γ un arc simple fermé (éventuellement à l'infini) dans \mathbb{C}^- qui vérifie certaines hypothèses non mentionnées ici. On note Ω_γ^+ le domaine extérieur défini par γ , et Ω_γ^- le complémentaire de $\overline{\Omega_\gamma^+}$.

Soit Ω le domaine d'analyticité de H .

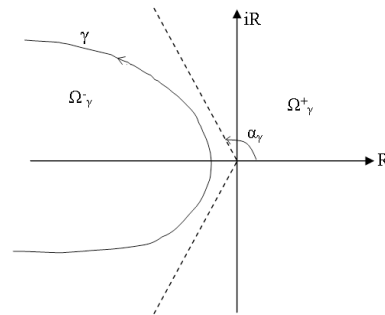
Extension de la formule précédente

Pour $\gamma \subset \Omega$ tel que H holomorphe dans Ω_γ^+ , si $H(p) \xrightarrow[p \rightarrow \infty]{} 0$ dans Ω_γ^+ alors

$$(\mathcal{H}u)(t) = \frac{1}{2i\pi} \int_{\tilde{\gamma}} H(p) \Psi_u(t, p) dp = \frac{1}{2i\pi} \int_{\mathbb{R}} \tilde{\gamma}'(\xi) H(\tilde{\gamma}(\xi)) \Psi_u(t, \tilde{\gamma}(\xi)) d\xi,$$

où $\tilde{\gamma}$ est un arc fermé dans Ω_γ^+ tel que $\gamma \subset \Omega_{\tilde{\gamma}}^-$.

Représentation Diffusive Principe (2)



Soit γ un arc simple fermé (éventuellement à l'infini) dans \mathbb{C}^- qui vérifie certaines hypothèses non mentionnées ici. On note Ω_γ^+ le domaine extérieur défini par γ , et Ω_γ^- le complémentaire de $\overline{\Omega_\gamma^+}$.

Soit Ω le domaine d'analyticité de H .

Extension de la formule précédente

Pour $\gamma \subset \Omega$ tel que H holomorphe dans Ω_γ^+ , si $H(p) \xrightarrow{p \rightarrow \infty} 0$ dans Ω_γ^+ alors

$$(\mathcal{H}u)(t) = \frac{1}{2i\pi} \int_{\tilde{\gamma}} H(p) \Psi_u(t, p) dp = \frac{1}{2i\pi} \int_{\mathbb{R}} \tilde{\gamma}'(\xi) H(\tilde{\gamma}(\xi)) \Psi_u(t, \tilde{\gamma}(\xi)) d\xi,$$

où $\tilde{\gamma}$ est un arc fermé dans Ω_γ^+ tel que $\gamma \subset \Omega_{\tilde{\gamma}}^-$.

Représentation Diffusive Principe (3)

► En posant $\tilde{\mu} = \frac{\tilde{\gamma}'}{2i\pi} H \circ \tilde{\gamma}$ et $\tilde{\psi}(t, \cdot) = \Psi_u(t, \cdot) \circ \tilde{\gamma}$, on a
 $(\mathcal{H}u)(t) = \langle \tilde{\mu}, \tilde{\psi}(t, \cdot) \rangle$

► Puis, en considérant une suite $\tilde{\gamma}_n \rightarrow \gamma$, et en posant

γ -symbole de \mathcal{H}

$$\mu = \lim \frac{\tilde{\gamma}'_n}{2i\pi} H \circ \tilde{\gamma}_n,$$

on obtient une représentation d'état (temps-locale) de dimension infinie de l'opérateur intégral \mathcal{H} :

$$\begin{cases} \partial_t \psi(t, \xi) = \gamma(\xi) \psi(t, \xi) + u(t), & \xi \in \mathbb{R}, \psi(t_0, \cdot) = 0 \\ (\mathcal{H}u)(t) = \langle \mu, \psi(t, \cdot) \rangle \end{cases}$$

Avantages :

- équation temps-locale de type diffusif \implies approximation simple
- équation d'état universelle pour tous les opérateurs admettant un γ -symbole

Représentation Diffusive Principe (3)

► En posant $\tilde{\mu} = \frac{\tilde{\gamma}'}{2i\pi} H \circ \tilde{\gamma}$ et $\tilde{\psi}(t, \cdot) = \Psi_u(t, \cdot) \circ \tilde{\gamma}$, on a
 $(\mathcal{H}u)(t) = \langle \tilde{\mu}, \tilde{\psi}(t, \cdot) \rangle$

► Puis, en considérant une suite $\tilde{\gamma}_n \rightarrow \gamma$, et en posant

γ -symbole de \mathcal{H}

$$\mu = \lim \frac{\tilde{\gamma}'_n}{2i\pi} H \circ \tilde{\gamma}_n,$$

on obtient une représentation d'état (temps-locale) de dimension infinie de l'opérateur intégral \mathcal{H} :

$$\begin{cases} \partial_t \psi(t, \xi) = \gamma(\xi) \psi(t, \xi) + u(t), & \xi \in \mathbb{R}, \psi(t_0, \cdot) = 0 \\ (\mathcal{H}u)(t) = \langle \mu, \psi(t, \cdot) \rangle \end{cases}$$

Avantages :

- équation temps-locale de type diffusif \implies approximation simple
- équation d'état universelle pour tous les opérateurs admettant un γ -symbole

Représentation Diffusive Principe (3)

► En posant $\tilde{\mu} = \frac{\tilde{\gamma}'}{2i\pi} H \circ \tilde{\gamma}$ et $\tilde{\psi}(t, \cdot) = \Psi_u(t, \cdot) \circ \tilde{\gamma}$, on a
 $(\mathcal{H}u)(t) = \langle \tilde{\mu}, \tilde{\psi}(t, \cdot) \rangle$

► Puis, en considérant une suite $\tilde{\gamma}_n \rightarrow \gamma$, et en posant

γ -symbole de \mathcal{H}

$$\mu = \lim \frac{\tilde{\gamma}'_n}{2i\pi} H \circ \tilde{\gamma}_n,$$

on obtient une représentation d'état (temps-locale) de dimension infinie de l'opérateur intégral \mathcal{H} :

$$\begin{cases} \partial_t \psi(t, \xi) = \gamma(\xi) \psi(t, \xi) + u(t), & \xi \in \mathbb{R}, \psi(t_0, \cdot) = 0 \\ (\mathcal{H}u)(t) = \langle \mu, \psi(t, \cdot) \rangle \end{cases}$$

Avantages :

- équation temps-locale de type diffusif \implies approximation simple
- équation d'état universelle pour tous les opérateurs admettant un γ -symbole

Représentation Diffusive Principe (3)

► En posant $\tilde{\mu} = \frac{\tilde{\gamma}'}{2i\pi} H \circ \tilde{\gamma}$ et $\tilde{\psi}(t, \cdot) = \Psi_u(t, \cdot) \circ \tilde{\gamma}$, on a
 $(\mathcal{H}u)(t) = \langle \tilde{\mu}, \tilde{\psi}(t, \cdot) \rangle$

► Puis, en considérant une suite $\tilde{\gamma}_n \rightarrow \gamma$, et en posant

γ -symbole de \mathcal{H}

$$\mu = \lim \frac{\tilde{\gamma}'_n}{2i\pi} H \circ \tilde{\gamma}_n,$$

on obtient une représentation d'état (temps-locale) de dimension infinie de l'opérateur intégral \mathcal{H} :

$$\begin{cases} \partial_t \psi(t, \xi) = \gamma(\xi) \psi(t, \xi) + u(t), & \xi \in \mathbb{R}, \psi(t_0, \cdot) = 0 \\ (\mathcal{H}u)(t) = \langle \mu, \psi(t, \cdot) \rangle \end{cases}$$

Avantages :

- équation temps-locale de type diffusif \implies approximation simple
- équation d'état universelle pour tous les opérateurs admettant un γ -symbole

Représentation Diffusive Cadre topologique

Espaces des γ -symboles : $\Delta'_\gamma \xleftrightarrow{\text{dualité}} \text{Espaces des } \psi : \Delta_\gamma$

Δ'_γ est un espace quotient de distributions \implies non unicité du γ -symbole,
 γ -symbole=classe d'équivalence de distributions

γ -symbole canonique : $\mu = \frac{\gamma'}{2i\pi} H_{|\gamma^+}$ (trace à droite au sens des distributions)

propriétés :

- ▶ $\Delta'_\gamma, \Delta_\gamma$ espaces complets ; existence de sous espaces de Hilbert de Δ'_γ
- ▶ somme, produit par un scalaire sont des opérations continues
- ▶ approximations simples, économiques et précises
- ▶ si $\#$ est le produit image dans Δ'_γ du produit de composition des opérateurs, alors $(\Delta'_\gamma, \#)$ est une algèbre sans diviseur de 0
- ▶ continuité dans Δ'_γ du produit interne $\#$
- ▶ nombreuses extensions possibles

Représentation Diffusive Cadre topologique

Espaces des γ -symboles : $\Delta'_\gamma \xleftrightarrow{\text{dualité}} \Delta_\gamma$

Δ'_γ est un espace quotient de distributions \implies non unicité du γ -symbole,
 γ -symbole = classe d'équivalence de distributions

γ -symbole canonique : $\mu = \frac{\gamma'}{2i\pi} H_{|\gamma^+}$ (trace à droite au sens des distributions)

propriétés :

- ▶ $\Delta'_\gamma, \Delta_\gamma$ espaces complets ; existence de sous espaces de Hilbert de Δ'_γ
- ▶ somme, produit par un scalaire sont des opérations continues
- ▶ approximations simples, économiques et précises
- ▶ si $\#$ est le produit image dans Δ'_γ du produit de composition des opérateurs, alors $(\Delta'_\gamma, \#)$ est une algèbre sans diviseur de 0
- ▶ continuité dans Δ'_γ du produit interne $\#$
- ▶ nombreuses extensions possibles

Représentation Diffusive Approximations numériques

Approximation ψ_n de $\psi(t, \cdot)$ par interpolation sur un maillage $\{\xi_k\}$

$$\psi_n(t, \xi) = \sum_{k=1}^n \psi(t, \xi_k) \Lambda_k(\xi), \text{ où } \Lambda_k, k = 1 : n \text{ fonctions d'interpolation.}$$

approximation convergente y_n de $y = \mathcal{H}u$

$$y_n(t) = \sum_{k=1}^n \lambda_k \psi(t, \xi_k) \text{ avec } \lambda_k = \int_{-\infty}^{+\infty} \mu(\xi) \Lambda_k(\xi) d\xi,$$

et réalisation d'état de dimension finie :

$$\partial_t \psi_k(t) = \gamma_k \psi_k(t) + u(t), \psi_k(t_0) = 0, k = 1 : n,$$

avec $\psi_k(t) = \psi(t, \xi_k)$ et $\gamma_k = \gamma(\xi_k)$.

Remarque : grâce à la nature diffusive de l'équation, seulement quelques dizaines de ξ_k sont en général nécessaires pour obtenir une bonne approximation

Représentation Diffusive Approximations numériques

Approximation ψ_n de $\psi(t, \cdot)$ par interpolation sur un maillage $\{\xi_k\}$

$$\psi_n(t, \xi) = \sum_{k=1}^n \psi(t, \xi_k) \Lambda_k(\xi), \text{ où } \Lambda_k, k = 1 : n \text{ fonctions d'interpolation.}$$

approximation convergente y_n de $y = \mathcal{H}u$

$$y_n(t) = \sum_{k=1}^n \lambda_k \psi(t, \xi_k) \text{ avec } \lambda_k = \int_{-\infty}^{+\infty} \mu(\xi) \Lambda_k(\xi) d\xi,$$

et réalisation d'état de dimension finie :

$$\partial_t \psi_k(t) = \gamma_k \psi_k(t) + u(t), \psi_k(t_0) = 0, k = 1 : n,$$

avec $\psi_k(t) = \psi(t, \xi_k)$ et $\gamma_k = \gamma(\xi_k)$.

Remarque : grâce à la nature diffusive de l'équation, seulement quelques dizaines de ξ_k sont en général nécessaires pour obtenir une bonne approximation

Représentation Diffusive Approximations numériques

Approximation ψ_n de $\psi(t, \cdot)$ par interpolation sur un maillage $\{\xi_k\}$

$$\psi_n(t, \xi) = \sum_{k=1}^n \psi(t, \xi_k) \Lambda_k(\xi), \text{ où } \Lambda_k, k = 1 : n \text{ fonctions d'interpolation.}$$

approximation convergente y_n de $y = \mathcal{H}u$

$$y_n(t) = \sum_{k=1}^n \lambda_k \psi(t, \xi_k) \text{ avec } \lambda_k = \int_{-\infty}^{+\infty} \mu(\xi) \Lambda_k(\xi) d\xi,$$

et réalisation d'état de dimension finie :

$$\partial_t \psi_k(t) = \gamma_k \psi_k(t) + u(t), \psi_k(t_0) = 0, k = 1 : n,$$

avec $\psi_k(t) = \psi(t, \xi_k)$ et $\gamma_k = \gamma(\xi_k)$.

Remarque : grâce à la nature diffusive de l'équation, seulement quelques dizaines de ξ_k sont en général nécessaires pour obtenir une bonne approximation

Plan

Représentation Diffusive

Inversion γ -symbolique

Identification de modèle

Inversion γ -symbolique Problématique

But : définir l'image dans l'espace Δ'_γ des γ -symboles de l'inversion d'opérateurs

\mathcal{H}^{-1} opérateur tel que

$$\mathcal{H}^{-1} \circ \mathcal{H} = Id$$

\longleftrightarrow

μ^{-1} γ -symbole tel que

$$\mu^{-1} \# \mu = \iota,$$

où ι γ -symbole de l'opérateur identité

Problèmes :

- ▶ algèbre Δ'_γ non unitaire
- ▶ l'inverse d'un opérateur admettant un γ -symbole dans Δ'_γ n'admet jamais de γ -symbole dans Δ'_γ

\implies **nécessité de passer à la sur-algèbre Σ_γ des γ -symboles d'opérateurs γ -diffusifs au sens large**, c'est à dire d'opérateurs \mathcal{H} tels que $\mathcal{H} \circ \partial_x^{-m}$, $m \in \mathbb{N}$ γ -diffusif au sens strict

Si $\gamma(0) = 0$, Σ_γ est unitaire

Inversion γ -symbolique Problématique

But : définir l'image dans l'espace Δ'_γ des γ -symboles de l'inversion d'opérateurs

\mathcal{H}^{-1} opérateur tel que

$$\mathcal{H}^{-1} \circ \mathcal{H} = Id$$

\longleftrightarrow

μ^{-1} γ -symbole tel que

$$\mu^{-1} \# \mu = \iota,$$

où ι γ -symbole de l'opérateur identité

Problèmes :

- ▶ algèbre Δ'_γ non unitaire
- ▶ l'inverse d'un opérateur admettant un γ -symbole dans Δ'_γ n'admet jamais de γ -symbole dans Δ'_γ

\implies nécessité de passer à la sur-algèbre Σ_γ des γ -symboles d'opérateurs γ -diffusifs au sens large, c'est à dire d'opérateurs \mathcal{H} tels que $\mathcal{H} \circ \partial_x^{-m}$, $m \in \mathbb{N}$ γ -diffusif au sens strict

Si $\gamma(0) = 0$, Σ_γ est unitaire

Inversion γ -symbolique Problématique

But : définir l'image dans l'espace Δ'_γ des γ -symboles de l'inversion d'opérateurs

\mathcal{H}^{-1} opérateur tel que

$$\mathcal{H}^{-1} \circ \mathcal{H} = Id$$

\longleftrightarrow

μ^{-1} γ -symbole tel que

$$\mu^{-1} \# \mu = \iota,$$

où ι γ -symbole de l'opérateur identité

Problèmes :

- ▶ algèbre Δ'_γ non unitaire
- ▶ l'inverse d'un opérateur admettant un γ -symbole dans Δ'_γ n'admet jamais de γ -symbole dans Δ'_γ

\implies **nécessité de passer à la sur-algèbre Σ_γ des γ -symboles d'opérateurs γ -diffusifs au sens large**, c'est à dire d'opérateurs \mathcal{H} tels que $\mathcal{H} \circ \partial_x^{-m}$, $m \in \mathbb{N}$ γ -diffusif au sens strict

Si $\gamma(0) = 0$, Σ_γ est unitaire

Inversion γ -symbolique

Définition de l'inverse

Dans Σ_γ , on a :

\mathcal{H} opérateur γ -diffusif
au sens large

\longleftrightarrow

γ -symbole canonique dans Σ_γ :

$$\mu = \frac{\gamma'}{2i\pi} H|_{\gamma^+}$$

opérateur identité

\longleftrightarrow

γ -symbole canonique : $\iota = \frac{\gamma'}{2i\pi} \in \Sigma_\gamma$

\Rightarrow l'inversion γ -symbolique est donc a priori bien définie dans Σ_γ

γ -symbole canonique dans Σ_γ de \mathcal{H}^{-1} γ -diffusif au sens large

$$\mu^{-1} = \frac{\gamma'}{2i\pi} \left(\frac{1}{H} \right) |_{\gamma^+},$$

réalisation diffusive de \mathcal{H}^{-1} , avec $\partial_t^{-m} \circ \mathcal{H}^{-1}$ γ -diffusif au sens strict

$$\mathcal{H}^{-1}u = \langle \delta^{\#m} \# \mu^{-1}, \mathfrak{Rd}_\gamma \partial_t^m u \rangle_{\Delta'_\gamma, \Delta_\gamma}$$

Inversion γ -symbolique
 Définition de l'inverse

Dans Σ_γ , on a :

\mathcal{H} opérateur γ -diffusif
 au sens large

\longleftrightarrow

γ -symbole canonique dans Σ_γ :

$$\mu = \frac{\gamma'}{2i\pi} H|_{\gamma^+}$$

opérateur identité

\longleftrightarrow

γ -symbole canonique : $\iota = \frac{\gamma'}{2i\pi} \in \Sigma_\gamma$

\implies l'inversion γ -symbolique est donc a priori bien définie dans Σ_γ

γ -symbole canonique dans Σ_γ de \mathcal{H}^{-1} γ -diffusif au sens large

$$\mu^{-1} = \frac{\gamma'}{2i\pi} \left(\frac{1}{H} \right) |_{\gamma^+}$$

réalisation diffusive de \mathcal{H}^{-1} , avec $\partial_t^{-m} \circ \mathcal{H}^{-1}$ γ -diffusif au sens strict

$$\mathcal{H}^{-1}u = \langle \delta^{\#m} \# \mu^{-1}, \mathfrak{Rd}_\gamma \partial_t^m u \rangle_{\Delta'_\gamma, \Delta_\gamma}$$

Inversion γ -symbolique Définition de l'inverse

Dans Σ_γ , on a :

\mathcal{H} opérateur γ -diffusif
au sens large

\longleftrightarrow

γ -symbole canonique dans Σ_γ :

$$\mu = \frac{\gamma'}{2i\pi} H|_{\gamma^+}$$

opérateur identité

\longleftrightarrow

γ -symbole canonique : $\iota = \frac{\gamma'}{2i\pi} \in \Sigma_\gamma$

\implies l'inversion γ -symbolique est donc a priori bien définie dans Σ_γ

γ -symbole canonique dans Σ_γ de \mathcal{H}^{-1} γ -diffusif au sens large

$$\mu^{-1} = \frac{\gamma'}{2i\pi} \left(\frac{1}{H} \right) |_{\gamma^+},$$

réalisation diffusive de \mathcal{H}^{-1} , avec $\partial_t^{-m} \circ \mathcal{H}^{-1}$ γ -diffusif au sens strict

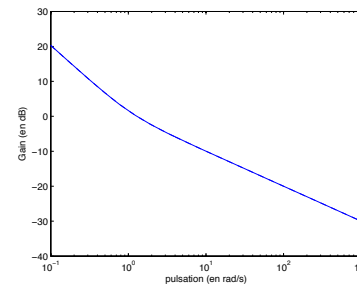
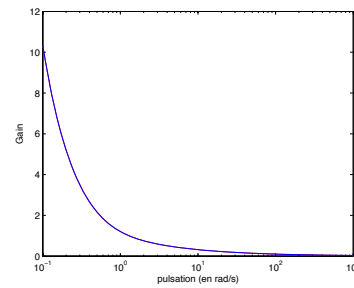
$$\mathcal{H}^{-1}u = \langle \delta^{\#m} \# \mu^{-1}, \mathfrak{Rd}_\gamma \partial_t^m u \rangle_{\Delta'_\gamma, \Delta_\gamma}$$

Inversion γ -symbolique Du point de vue numérique

Remarque importante : l'ensemble des γ -symboles de Σ_γ inversibles dans Σ_γ n'est voisinage d'aucun de ces points

Conséquence : numériquement, le problème d'inversion γ -symbolique nécessitera certaines précautions

Exemple : inversion numérique de $\mathcal{H} = (\sqrt{\partial_t + 1})^{-1}$: tracé de $\partial_t^{-1} \circ (\sqrt{\partial_t + 1})$



Plan

Représentation Diffusive

Inversion γ -symbolique

Identification de modèle
Principe
Application

Identification de modèle Principe (1)

Modèle :

$$H(\partial_t)x = f(x, u)$$

Objectif : construire des estimations de $H(\partial_t)$ et/ou de f à partir des données bruitées x^* .

Idée : paramétrisation de l'opérateur $H(\partial_t)$, via son γ -symbole, et de la fonction f , via une décomposition sur des fonctions de base
 \implies problème équivalent, linéaire par rapport aux paramètres à identifier

Hypothèses :

- les opérateurs $H(\partial_t)^{-1}$ et $H(\partial_t) \circ \partial_t^{-1}$ admettent tous deux un γ -symbole; on note μ le γ -symbole de $H(\partial_t) \circ \partial_t^{-1}$
- $f = \tilde{f} + \bar{f}$ où \tilde{f} est connue et \bar{f} est à identifier

Identification de modèle Principe (1)

Modèle :

$$H(\partial_t)x = f(x, u)$$

Objectif : construire des estimations de $H(\partial_t)$ et/ou de f à partir des données bruitées x^* .

Idée : paramétrisation de l'opérateur $H(\partial_t)$, via son γ -symbole, et de la fonction f , via une décomposition sur des fonctions de base
 \implies problème équivalent, linéaire par rapport aux paramètres à identifier

Hypothèses :

- les opérateurs $H(\partial_t)^{-1}$ et $H(\partial_t) \circ \partial_t^{-1}$ admettent tous deux un γ -symbole; on note μ le γ -symbole de $H(\partial_t) \circ \partial_t^{-1}$
- $f = \tilde{f} + \bar{f}$ où \tilde{f} est connue et \bar{f} est à identifier

Identification de modèle Principe (1)

Modèle :

$$H(\partial_t)x = f(x, u)$$

Objectif : construire des estimations de $H(\partial_t)$ et/ou de f à partir des données bruitées x^* .

Idée : paramétrisation de l'opérateur $H(\partial_t)$, via son γ -symbole, et de la fonction f , via une décomposition sur des fonctions de base
 \implies problème équivalent, linéaire par rapport aux paramètres à identifier

Hypothèses :

- les opérateurs $H(\partial_t)^{-1}$ et $H(\partial_t) \circ \partial_t^{-1}$ admettent tous deux un γ -symbole; on note μ le γ -symbole de $H(\partial_t) \circ \partial_t^{-1}$
- $f = \tilde{f} + \bar{f}$ où \tilde{f} est connue et \bar{f} est à identifier

Identification de modèle Principe (1)

Modèle :

$$H(\partial_t)x = f(x, u)$$

Objectif : construire des estimations de $H(\partial_t)$ et/ou de f à partir des données bruitées x^* .

Idée : paramétrisation de l'opérateur $H(\partial_t)$, via son γ -symbole, et de la fonction f , via une décomposition sur des fonctions de base
 \implies problème équivalent, linéaire par rapport aux paramètres à identifier

Hypothèses :

- les opérateurs $H(\partial_t)^{-1}$ et $H(\partial_t) \circ \partial_t^{-1}$ admettent tous deux un γ -symbole; on note μ le γ -symbole de $H(\partial_t) \circ \partial_t^{-1}$
- $f = \tilde{f} + \bar{f}$ où \tilde{f} est connue et \bar{f} est à identifier

Identification de modèle Principe (2)

Paramétrisation de l'opérateur $H(\partial_t)$:

$$y = H(\partial_t)x \stackrel{\text{RD}}{\mapsto} y = A_x \mu \text{ où } \begin{cases} \mu \text{ } \gamma\text{-symbol de } H(\partial_t) \circ \partial_t^{-1} \\ A_x : \mu \mapsto A_x \mu = \langle \mu, \gamma \psi_x + x \otimes \mathbf{1} \rangle \end{cases}$$

Paramétrisation de la fonction f : base topologique $\{\mathbf{g}^i \otimes \mathbf{k}^j\}$ d'un produit tensoriel d'espaces de Hilbert auquel appartient \tilde{f} :

$$f(u, x) = \tilde{f}(u, x) + \sum_{i,j} a_{ij} \mathbf{g}^i(u) \otimes \mathbf{k}^j(x)$$

Paramétrisation globale du modèle :

$$A_x \mu - \sum_{i,j} \mathbf{g}^i(u) \mathbf{k}^j(x) a_{ij} = \tilde{f}(u, x)$$

qui est équivalent à :

$$\mathcal{G}_{u,x} \lambda = b \text{ avec } \begin{cases} \mathcal{G}_{u,x} : (\mu, a) \mapsto A_x \mu - \sum_{i,j} \mathbf{g}^i(u) \mathbf{k}^j(x) a_{ij} \\ b = \tilde{f}(u, x) \\ \lambda = (\mu, a) : \text{paramètres à identifier} \end{cases}$$

Identification de modèle Principe (2)

Paramétrisation de l'opérateur $H(\partial_t)$:

$$y = H(\partial_t)x \stackrel{\text{RD}}{\mapsto} y = A_x \mu \text{ où } \begin{cases} \mu \text{ } \gamma\text{-symbol de } H(\partial_t) \circ \partial_t^{-1} \\ A_x : \mu \mapsto A_x \mu = \langle \mu, \gamma \psi_x + x \otimes 1 \rangle \end{cases}$$

Paramétrisation de la fonction f : base topologique $\{\mathbf{g}^i \otimes \mathbf{k}^j\}$ d'un produit tensoriel d'espaces de Hilbert auquel appartient \tilde{f} :

$$f(u, x) = \tilde{f}(u, x) + \sum_{i,j} a_{ij} \mathbf{g}^i(u) \otimes \mathbf{k}^j(x)$$

Paramétrisation globale du modèle :

$$A_x \mu - \sum_{i,j} \mathbf{g}^i(u) \mathbf{k}^j(x) a_{ij} = \tilde{f}(u, x)$$

qui est équivalent à :

$$\mathcal{G}_{u,x} \lambda = b \text{ avec } \begin{cases} \mathcal{G}_{u,x} : (\mu, a) \mapsto A_x \mu - \sum_{i,j} \mathbf{g}^i(u) \mathbf{k}^j(x) a_{ij} \\ b = \tilde{f}(u, x) \\ \lambda = (\mu, a) : \text{paramètres à identifier} \end{cases}$$

Identification de modèle Principe (2)

Paramétrisation de l'opérateur $H(\partial_t)$:

$$y = H(\partial_t)x \stackrel{\text{RD}}{\mapsto} y = A_x \mu \text{ où } \begin{cases} \mu \text{ } \gamma\text{-symbol de } H(\partial_t) \circ \partial_t^{-1} \\ A_x : \mu \mapsto A_x \mu = \langle \mu, \gamma \psi_x + x \otimes 1 \rangle \end{cases}$$

Paramétrisation de la fonction f : base topologique $\{\mathbf{g}^i \otimes \mathbf{k}^j\}$ d'un produit tensoriel d'espaces de Hilbert auquel appartient \tilde{f} :

$$f(u, x) = \tilde{f}(u, x) + \sum_{i,j} a_{ij} \mathbf{g}^i(u) \otimes \mathbf{k}^j(x)$$

Paramétrisation globale du modèle :

$$A_x \mu - \sum_{i,j} \mathbf{g}^i(u) \mathbf{k}^j(x) a_{ij} = \tilde{f}(u, x)$$

qui est équivalent à :

$$\mathcal{G}_{u,x} \lambda = b \text{ avec } \begin{cases} \mathcal{G}_{u,x} : (\mu, a) \mapsto A_x \mu - \sum_{i,j} \mathbf{g}^i(u) \mathbf{k}^j(x) a_{ij} \\ b = \tilde{f}(u, x) \\ \lambda = (\mu, a) : \text{paramètres à identifier} \end{cases}$$

Identification de modèle Principe (3)

Problématique : identifier $\lambda = (\mu, a)$ à partir des données u et x^*

⇒ problème de minimisation :

$$\min_{\lambda \in \mathcal{E}} \|\mathcal{G}_{u,x^*} \lambda - b^*\|_{\mathcal{F}}^2, \quad (1)$$

où γ et la base $\{\mathbf{g}^i \otimes \mathbf{k}^j\}$ sont à choisir en fonction du problème

⇒ solution obtenue par pseudo-inversion :

$$\lambda^* = \mathcal{G}_{u,x^*}^\dagger b^*.$$

Du point de vue numérique, on a :

$$[\mathcal{G}_{u,x^*}(\mu^L, a)](t_n) = \sum_{l=1}^L \mu_l^L (\gamma(\xi_l^L) \psi_{x^*}(t_n, \xi_l^L) + x^*(t_n)) - \sum_{i=1}^I \sum_{j=1}^J \mathbf{g}^i(u(t_n))$$

l'opérateur \mathcal{G}_{u,x^*} peut s'exprimer au moyen de la matrice

$G_{u,x^*} \in \mathcal{M}^{N, L+I \times J}$ dont le pseudo inverse est classiquement donné par

(avec $N \gg L + I \times J$) :

$$G_{u,x^*}^\dagger = (G_{u,x^*}^* G_{u,x^*})^{-1} G_{u,x^*}^*.$$

Identification de modèle Principe (3)

Problématique : identifier $\lambda = (\mu, a)$ à partir des données u et x^*

⇒ problème de minimisation :

$$\min_{\lambda \in \mathcal{E}} \|\mathcal{G}_{u,x^*} \lambda - b^*\|_{\mathcal{F}}^2, \quad (1)$$

où γ et la base $\{\mathbf{g}^i \otimes \mathbf{k}^i\}$ sont à choisir en fonction du problème

⇒ solution obtenue par pseudo-inversion :

$$\lambda^* = \mathcal{G}_{u,x^*}^\dagger b^*.$$

Du point de vue numérique, on a :

$$[\mathcal{G}_{u,x^*}(\mu^L, a)](t_n) = \sum_{l=1}^L \mu_l^L (\gamma(\xi_l^L) \psi_{x^*}(t_n, \xi_l^L) + x^*(t_n)) - \sum_{i=1}^I \sum_{j=1}^J \mathbf{g}^i(u(t_n))$$

l'opérateur \mathcal{G}_{u,x^*} peut s'exprimer au moyen de la matrice

$G_{u,x^*} \in \mathcal{M}^{N, L+I \times J}$ dont le pseudo inverse est classiquement donné par

(avec $N \gg L + I \times J$) :

$$G_{u,x^*}^\dagger = (G_{u,x^*}^* G_{u,x^*})^{-1} G_{u,x^*}^*.$$

Identification de modèle Principe (3)

Problématique : identifier $\lambda = (\mu, a)$ à partir des données u et x^*

⇒ problème de minimisation :

$$\min_{\lambda \in \mathcal{E}} \|\mathcal{G}_{u,x^*} \lambda - b^*\|_{\mathcal{F}}^2, \quad (1)$$

où γ et la base $\{\mathbf{g}^i \otimes \mathbf{k}^i\}$ sont à choisir en fonction du problème

⇒ solution obtenue par pseudo-inversion :

$$\lambda^* = \mathcal{G}_{u,x^*}^\dagger b^*.$$

Du point de vue numérique, on a :

$$[\mathcal{G}_{u,x^*}(\mu^L, a)](t_n) = \sum_{l=1}^L \mu_l^L (\gamma(\xi_l^L) \psi_{x^*}(t_n, \xi_l^L) + x^*(t_n)) - \sum_{i=1}^I \sum_{j=1}^J \mathbf{g}^i(u(t_n))$$

l'opérateur \mathcal{G}_{u,x^*} peut s'exprimer au moyen de la matrice

$G_{u,x^*} \in \mathcal{M}^{N, L+I \times J}$ dont le pseudo inverse est classiquement donné par

(avec $N \gg L + I \times J$) :

$$G_{u,x^*}^\dagger = (G_{u,x^*}^* G_{u,x^*})^{-1} G_{u,x^*}^*.$$

Identification de modèle Principe (3)

Problématique : identifier $\lambda = (\mu, a)$ à partir des données u et x^*

⇒ problème de minimisation :

$$\min_{\lambda \in \mathcal{E}} \|\mathcal{G}_{u,x^*} \lambda - b^*\|_{\mathcal{F}}^2, \quad (1)$$

où γ et la base $\{\mathbf{g}^i \otimes \mathbf{k}^i\}$ sont à choisir en fonction du problème

⇒ solution obtenue par pseudo-inversion :

$$\lambda^* = \mathcal{G}_{u,x^*}^\dagger b^*.$$

Du point de vue numérique, on a :

$$[\mathcal{G}_{u,x^*}(\mu^L, a)](t_n) = \sum_{l=1}^L \mu_l^L (\gamma(\xi_l^L) \psi_{x^*}(t_n, \xi_l^L) + x^*(t_n)) - \sum_{i=1}^I \sum_{j=1}^J \mathbf{g}^i(u(t_n))$$

l'opérateur \mathcal{G}_{u,x^*} peut s'exprimer au moyen de la matrice

$G_{u,x^*} \in \mathcal{M}^{N, L+I \times J}$ dont le pseudo inverse est classiquement donné par

(avec $N \gg L + I \times J$) :

$$G_{u,x^*}^\dagger = (G_{u,x^*}^* G_{u,x^*})^{-1} G_{u,x^*}^*.$$

Identification de modèle Principe (4)

Quelques remarques :

► **Biais** : \mathcal{G}_{u,x^*} dépend du bruit de mesure \implies l'estimateur λ^* de λ est biaisé

► **Simulation du modèle identifié :**

Le modèle identifié est donné par :

$$H^*(\partial_t)x = f^*(u, x)$$

où H^* et f^* sont déduits des paramètres identifiés λ^* .

On a donc $x = H^*(\partial_t)^{-1}f^*(u, x)$ que l'on peut simuler au moyen de la représentation diffusive :

$$\begin{cases} \partial_t \psi = \gamma \psi + f^*(u, \langle \delta \# \mu^{*-1}, \psi \rangle), \psi(0, \cdot) = 0 \\ x = \langle \delta \# \mu^{*-1}, \psi \rangle. \end{cases}$$

\implies nécessité de l'inversion γ -symbolique.

Identification de modèle Principe (4)

Quelques remarques :

► **Biais** : \mathcal{G}_{u,x^*} dépend du bruit de mesure \implies l'estimateur λ^* de λ est biaisé

► **Simulation du modèle identifié :**

Le modèle identifié est donné par :

$$H^*(\partial_t)x = f^*(u, x)$$

où H^* et f^* sont déduits des paramètres identifiés λ^* .

On a donc $x = H^*(\partial_t)^{-1}f^*(u, x)$ que l'on peut simuler au moyen de la représentation diffusive :

$$\begin{cases} \partial_t \psi = \gamma \psi + f^*(u, \langle \delta \# \mu^{*-1}, \psi \rangle), \psi(0, \cdot) = 0 \\ x = \langle \delta \# \mu^{*-1}, \psi \rangle. \end{cases}$$

\implies nécessité de l'inversion γ -symbolique.

Identification de modèle Principe (4)

Quelques remarques :

► **Biais** : \mathcal{G}_{u,x^*} dépend du bruit de mesure \implies l'estimateur λ^* de λ est biaisé

► **Simulation du modèle identifié :**

Le modèle identifié est donné par :

$$H^*(\partial_t)x = f^*(u, x)$$

où H^* et f^* sont déduits des paramètres identifiés λ^* .

On a donc $x = H^*(\partial_t)^{-1}f^*(u, x)$ que l'on peut simuler au moyen de la représentation diffusive :

$$\begin{cases} \partial_t \psi = \gamma \psi + f^*(u, \langle \delta \# \mu^{*-1}, \psi \rangle), \psi(0, \cdot) = 0 \\ x = \langle \delta \# \mu^{*-1}, \psi \rangle. \end{cases}$$

\implies nécessité de l'inversion γ -symbolique.

Identification de modèle Principe (4)

Quelques remarques :

► **Biais** : \mathcal{G}_{u,x^*} dépend du bruit de mesure \implies l'estimateur λ^* de λ est biaisé

► **Simulation du modèle identifié :**

Le modèle identifié est donné par :

$$H^*(\partial_t)x = f^*(u, x)$$

où H^* et f^* sont déduits des paramètres identifiés λ^* .

On a donc $x = H^*(\partial_t)^{-1}f^*(u, x)$ que l'on peut simuler au moyen de la représentation diffusive :

$$\begin{cases} \partial_t \psi = \gamma \psi + f^*(u, \langle \delta \# \mu^{*-1}, \psi \rangle), \psi(0, \cdot) = 0 \\ x = \langle \delta \# \mu^{*-1}, \psi \rangle. \end{cases}$$

\implies nécessité de l'inversion γ -symbolique.

Identification de modèle

Application (1) : système considéré

Système : équation de flamme sphérique de Joulin, où $x(t)$ représente le rayon de la flamme à un temps $t > 0$:

$$x \partial_t^{\frac{1}{2}} x = 2x \ln x + 2u, \quad x(0) = 0, \quad u \geq 0, \quad x \geq 0. \quad (2)$$

► seuil de bifurcation : la flamme soit explose, soit s'éteint \implies difficulté pour l'identification

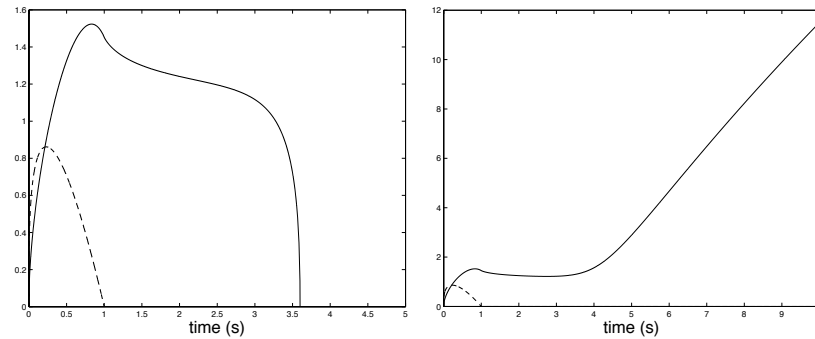
Identification de modèle

Application (1) : système considéré

Systeme : équation de flamme sphérique de Joulin, où $x(t)$ représente le rayon de la flamme à un temps $t > 0$:

$$x \partial_t^{\frac{1}{2}} x = 2x \ln x + 2u, \quad x(0) = 0, \quad u \geq 0, \quad x \geq 0. \quad (2)$$

► seuil de bifurcation : la flamme soit explose, soit s'éteint \implies difficulté pour l'identification



Identification de modèle
Application (2) : problème d'identification

Modèle d'identification :

$$H(\partial_t)x = 2\frac{u}{x} + 2k(x) \text{ où } H(\partial_t) \text{ et } k \text{ sont à identifier.}$$

Paramétrisation:

$$k(x) = \sum_j a_j k^j(x) \quad \text{avec} \quad k^j(x) = x^{j-1}$$

$$\text{et } H(\partial_t)x = A_x \mu \quad \text{avec} \quad \begin{cases} \gamma(\xi) = |\xi| e^{i\text{sign}(\xi)\frac{3\pi}{4}} \\ L = 20 \text{ valeurs } \xi_l^t \text{ (couvrant 4 décades)} \end{cases}$$

\Rightarrow problème de la forme (1) avec $b = 2\frac{u}{x^*}$.

Identification de modèle
Application (2) : problème d'identification

Modèle d'identification :

$$H(\partial_t)x = 2\frac{u}{x} + 2k(x) \text{ où } H(\partial_t) \text{ et } k \text{ sont à identifier.}$$

Paramétrisation:

$$k(x) = \sum_j a_j \mathbf{k}^j(x) \quad \text{avec} \quad \mathbf{k}^j(x) = x^{j-1}$$

$$\text{et } H(\partial_t)x = A_x \mu \quad \text{avec} \quad \begin{cases} \gamma(\xi) = |\xi| e^{i\text{sign}(\xi)\frac{3\pi}{4}} \\ L = 20 \text{ valeurs } \xi_l^t \text{ (couvrant 4 décades)} \end{cases}$$

\Rightarrow problème de la forme (1) avec $b = 2\frac{u}{x^*}$.

Identification de modèle
Application (2) : problème d'identification

Modèle d'identification :

$$H(\partial_t)x = 2\frac{u}{x} + 2k(x) \text{ où } H(\partial_t) \text{ et } k \text{ sont à identifier.}$$

Paramétrisation:

$$k(x) = \sum_j a_j \mathbf{k}^j(x) \quad \text{avec} \quad \mathbf{k}^j(x) = x^{j-1}$$

$$\text{et } H(\partial_t)x = A_x \mu \quad \text{avec} \quad \begin{cases} \gamma(\xi) = |\xi| e^{i\text{sign}(\xi)\frac{3\pi}{4}} \\ L = 20 \text{ valeurs } \xi_l^t \text{ (couvrant 4 décades)} \end{cases}$$

\implies problème de la forme (1) avec $b = 2\frac{u}{x^*}$.

Identification de modèle
Application (2) : problème d'identification

Modèle d'identification :

$$H(\partial_t)x = 2\frac{u}{x} + 2k(x) \text{ où } H(\partial_t) \text{ et } k \text{ sont à identifier.}$$

Paramétrisation:

$$k(x) = \sum_j a_j \mathbf{k}^j(x) \quad \text{avec} \quad \mathbf{k}^j(x) = x^{j-1}$$

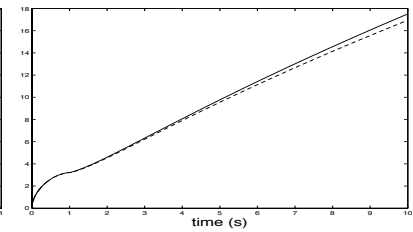
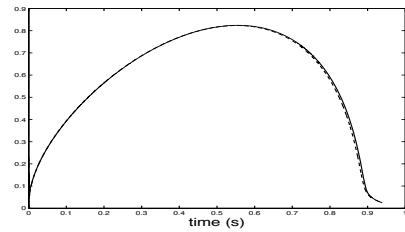
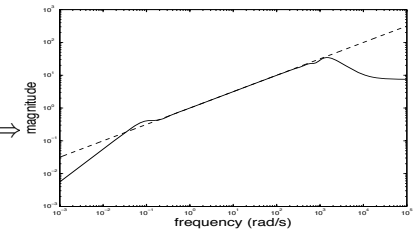
$$\text{et } H(\partial_t)x = A_x \mu \quad \text{avec} \quad \begin{cases} \gamma(\xi) = |\xi| e^{i\text{sign}(\xi)\frac{3\pi}{4}} \\ L = 20 \text{ valeurs } \xi_l^t \text{ (couvrant 4 décades)} \end{cases}$$

\Rightarrow problème de la forme (1) avec $b = 2\frac{u}{x^*}$.

Identification de modèle
 Application (3) : résultats numériques

► On suppose k connue et on identifie $H(\partial_t)$

réponse fréquentielles $H(i\omega)$ }
 exacte (- -) et identifiée (-)



Evolution de x pour les modèles exact (- -) et identifié (—).

Identification de modèle
Application (4) : résultats numériques

► On identifie à la fois k et $H(\partial_t)$

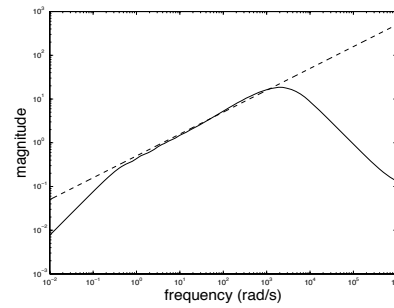


Fig.: Réponses fréquentielles $H(i\omega)$
exacte(- -) et identifiée(—)

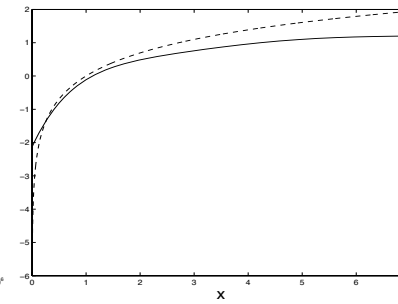


Fig.: Fonction k exacte(- -) et
identifiée(—)